

СИГНАЛИ: моделі, зображення, опрацювання

УДК 681.3

© В. Максимович¹, Р. Смур¹, Ю. Сторонський¹, Ю. Костів¹, 2014

ДВІЙКОВО-ДЕСЯТКОВИЙ ГЕНЕРАТОР ПУАССОНІВСЬКИХ ІМПУЛЬСНИХ ПОТОКІВ

В роботі запропоновано структурну схему генератора псевдовипадкових імпульсних послідовностей на основі модифікованого генератора Фібоначчі, що може використовуватись для формування псевдовипадкової бітової послідовності і керованої по частоті пуассонівської імпульсної послідовності. Досліджені їхні статистичні характеристики. Генератор може використовуватись, зокрема, для імітації вихідних сигналів дозиметричних детекторів.

The structural scheme of pseudorandom pulse sequences generator on the base of modified Fibonacci generators that can be used for formation of pseudorandom bit sequence and Poisson pulse sequence, which frequency can be changed, are representing in the work. Their statistic characteristics are investigated. The generator can be used, in particular, for imitation of dosimetric detectors output signals.

1. ВСТУП

Генератори пуассонівських імпульсних потоків (ГПП) використовуються, зокрема, для імітації вихідних сигналів дозиметричних детекторів (ДД) при проектуванні і попередніх випробуваннях дозиметричних пристроїв [1]

В роботі [2] були запропоновані і досліджені ГПП на основі модифікованих генераторів Фібоначчі (МГФ). Розроблені генератори можуть використовуватись для формування керованого по частоті пуассонівського імпульсного потоку і бітової псевдовипадкової імпульсної послідовності. Таким чином, генератори можуть використовуватись як у вимірювальній техніці для імітації випадкових сигналів, так і для криптографічних перетворень. Однак, структурні елементи цих ГПП працюють у двійковому коді, що створює певні незручності при їх використанні в дозиметрії.

2. СТРУКТУРНА СХЕМА ГЕНЕРАТОРА

В даній роботі досліджений один з варіантів побудови ГПП на основі МГФ, при функціонуванні його структурних елементів в двійково-десятьковій системі числення. Відповідна структурна схема наведена на рис. 1.

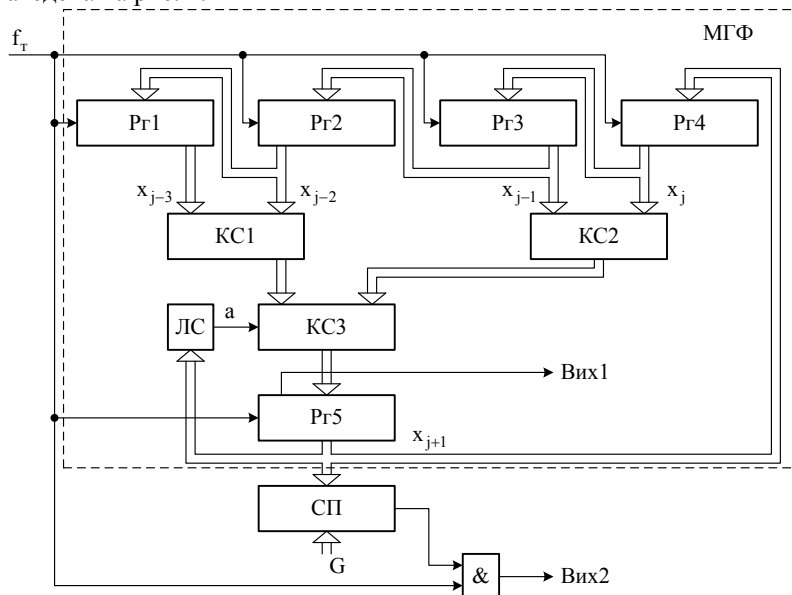


Рис. 1. Структурна схема ГПП на основі МГФ

Власне МГФ складається з регістрів Pr1 - Pr5, комбінаційних суматорів KC1 – KC3, що працюють в двійково-десятьковій системі числення і логічної схеми ЛС. Схема порівняння СП, яка також працює у двійково-десятьковому коді, і логічний елемент І забезпечують формування імпульсного потоку з пуассонівським законом розподілу (Вих. 2).

На виході МГФ, тобто на виході Pr5, формується послідовність псевдовипадкових чисел у відповідності до виразу:

$$x_{j+1} = (x_j + x_{j-1} + x_{j-2} + x_{j-3} + a) \bmod m, \quad (1)$$

де $x_j, x_{j-1}, x_{j-2}, x_{j-3}$ – числа в регістрах Rг4, Rг3, Rг2, Rг1 відповідно,
 $m = 10^q$, q – кількість декад структурних елементів схеми. Значення
змінної a визначається логічним рівнянням

$$a = a_0 \text{ хог } a_1 \text{ хог } a_2 \text{ хог } \dots \text{ хог } a_z, \quad (2)$$

де a_i ($i=0,1,\dots,z$) – значення розрядів двійково-десятькового числа в Rг5. Кількість членів рівняння (2) може вибиратись з діапазону $0 \dots 4 \cdot q$.

3. ДОСЛІДЖЕННЯ СТАТИСТИЧНИХ ХАРАКТЕРИСТИК БІТОВОЇ ІМПУЛЬСНОЇ ПОСЛІДОВНОСТІ (ВИХІД 1)

Псевдовипадкова бітова імпульсна послідовність формується на виході молодшого розряду регістру Rг5 (Вих. 1). Введення в склад генератора Фібоначі логічної схеми ЛС зумовлено необхідністю покращення статистичних характеристик цієї послідовності при апаратній реалізації генератора [2]. На рис. 2 наведено статистичні портрети імпульсної послідовності на Вих. 1 при відсутності (рис. 2а) і наявності ЛС (рис. 2б), що отримані з використанням тестів NIST [3]. При цьому були зафіксовано, що структурні елементи генератора містять 9 декад ($q = 9$, $m = 10^9$), а кількість аргументів логічного рівняння (2) дорівнює 30 ($z = 29$). На рис. 2 пунктирними лініями показані межі, в яких повинні знаходитись імовірності проходження тестів, для визнання імпульсної послідовності такою, що відповідає умовам випадковості. Отже, при наявності ЛС вихідна бітова послідовність відповідає установленим вимогам і розроблений генератор може використовуватись, зокрема, в криптографічних перетвореннях.

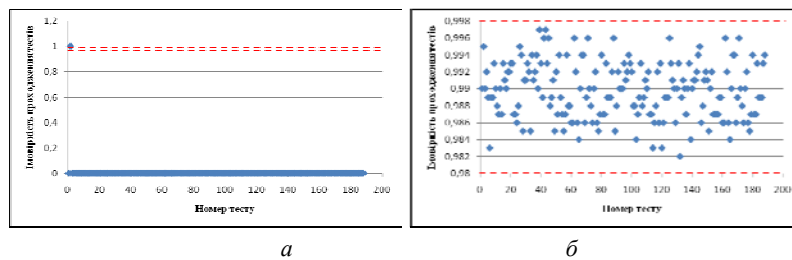


Рис. 2. Статистичні портрети біткової послідовності (Вих. 1)

4. ДОСЛІДЖЕННЯ СТАТИСТИЧНИХ ХАРАКТЕРИСТИК КЕРОВАНОЇ ПУАССОНІВСЬКОЇ ІМПУЛЬСНОЇ ПОСЛІДОВНОСТІ (ВИХІД 2)

Середня частота імпульсів на виході ГПП (Вих. 2) визначається рівнянням

$$f_{\text{вих}} = \frac{G}{10^q} f_T, \quad (3)$$

де G – керуючий код, f_T – частота тактових імпульсів.

Результати дослідження статистичних характеристик ГПП на базі МГФ, зафіксовані при $m=10^9$, наведені на рис. 3. Дослідження проводились з допомогою узагальненої методики дослідження параметрів вихідного сигналу ГПП на відповідність пуассонівському закону розподілу з використанням критерію Пірсона [4].

У відповідності до запропонованої методики потік вхідних імпульсів ГПП розділяється на n однакових груп, кожна з яких складається з i_{max} імпульсів. Максимальну кількість груп – n_{max} . Групам вхідних імпульсів відповідають групи вихідних імпульсів з числом імпульсів $k_1, k_2, \dots, k_{n_{\text{max}}}$. Запропонована методика ґрунтується на класичній методиці перевірки гіпотези про розподіл генеральної сукупності за законом Пуассона з використанням критерію Пірсона (критерію χ^2) [5]. При цьому, враховуючи специфіку побудови ГПП, були запропоновані наступні доповнення:

- фіксується номінальне (теоретичне) середнє значення чисел $k_1, k_2 \dots k_{n_{\text{max}}} = k_c$, незалежно від значення керуючого коду G ;
- значення i_{max} є змінним, залежить від значення G і визначається рівнянням

$$i_{\text{max}} = \frac{X_{\text{max}}}{G} k_c, \quad (4)$$

де X_{max} – максимально можливе значення числа на виході регістра Рг5. У випадку, що розглядається $X_{\text{max}} = 10^q$.

В результаті застосування методики знаходять значення χ_c^2 . За таблицями критичних точок розподілу χ^2 [5], за вибраними рівнем значимості α (звичайно α надають одне з трьох значень – 0,1; 0,05; 0,01) і числом степенів свободи k знаходять критичне значення $\chi_{\text{кр}}^2$.

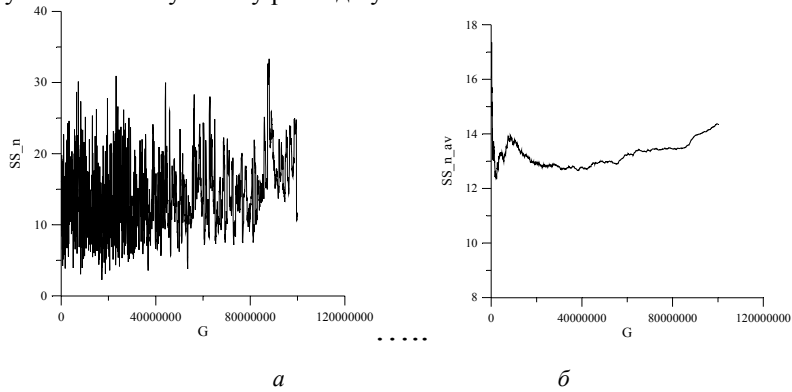
Якщо для $\chi_c^2 < \chi_{кр}^2$ – немає підстав не приймати гіпотезу про відповідність імпульсного потоку пуассонівському закону розподілу.

Результати наведені на рис. 3 отримані при $k_c = 10$ і $n_{max} = 1000$. Тут зображені залежності χ_c^2 (SS_n) і середнього значення $\chi_c^2 - \chi_{с\text{с}\text{ер}}^2$ (SS_n_av) від значення керуючого коду G при таких умовах:

- а, б – при відсутності в структурі МГФ логічної схеми ЛС;
- в, г – при наявності ЛС ($z = 4$);
- д, у – при наявності ЛС ($z = 29$).

Аналіз наведених результатів дозволяє зробити такі висновки. Наявність в складі ГПП логічної схеми ЛС не призводить до значного покращення статистичних характеристик вихідного імпульсного потоку, а при збільшенні членів рівняння (2), спостерігається навіть їх незначне погіршення – збільшення значень χ_c^2 і $\chi_{с\text{с}\text{ер}}^2$.

Порівнявши значення χ_c^2 і $\chi_{с\text{с}\text{ер}}^2$ з $\chi_{кр}^2 = 27,7$ (отриманому при рівні значимості $\alpha = 0,01$ і числу степенів свободи $k = 13$ [5]) в усьому діапазоні значень керуючого коду G , можна зробити висновок про відповідність, в основному, вихідної імпульсної послідовності ГПП пуассонівському закону розподілу.



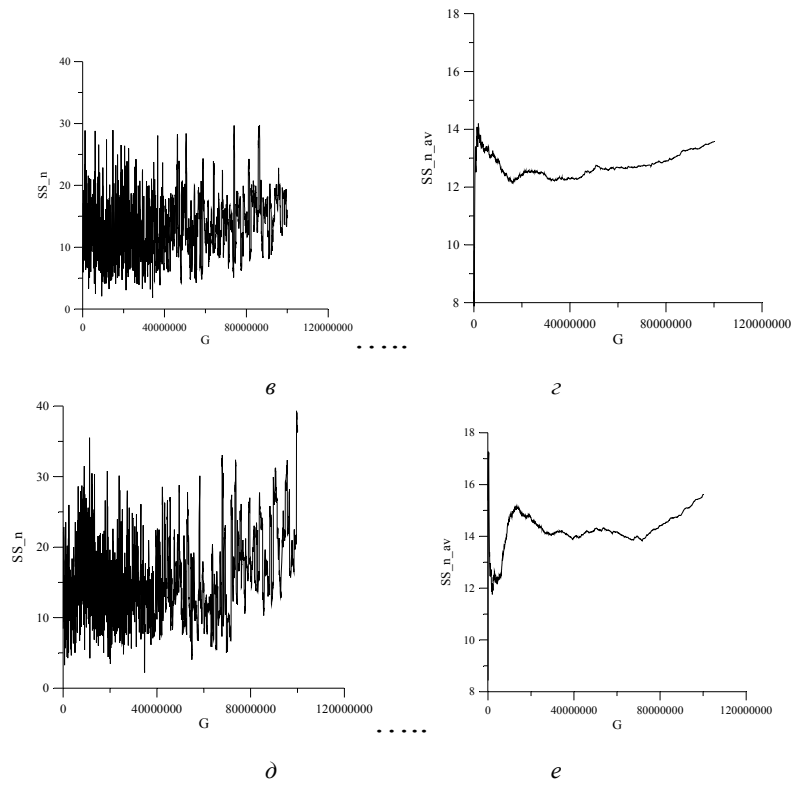


Рис. 3. Статистичні характеристики ГПП на основі двійково-десятькового МГФ

В таблиці 1 наведені статичні характеристики ГПП на базі МГФ при різних значеннях тактової частоти f_T .

Таблиця 1

Статичні характеристики ГППШ на базі МГФ

f_T , Гц	$\Delta f_{\text{вих}}$, Гц	$\Delta \lambda$, $\frac{\text{мкР}}{\text{год}}$	$G_{\text{min}} \div G_{\text{max}}$	$f_{\text{вих min}} \div f_{\text{вих max}}$, Гц	$\lambda_{\text{min}} \div \lambda_{\text{max}}$, $\frac{\text{мкР}}{\text{год}}$
$2 \cdot 10^4$	$2 \cdot 10^{-5}$	10^{-3}	$10^4 \div 10^8$	$2 \cdot 10^{-1} \div 2 \cdot 10^3$	$10^1 \div 10^5$
$2 \cdot 10^5$	$2 \cdot 10^{-4}$	10^{-2}	$10^4 \div 10^8$	$2 \cdot 10^0 \div 2 \cdot 10^4$	$10^2 \div 10^6$
$2 \cdot 10^6$	$2 \cdot 10^{-3}$	10^{-1}	$10^4 \div 10^8$	$2 \cdot 10^1 \div 2 \cdot 10^5$	$10^3 \div 10^7$
$2 \cdot 10^7$	$2 \cdot 10^{-2}$	10^0	$10^4 \div 10^8$	$2 \cdot 10^2 \div 2 \cdot 10^6$	$10^4 \div 10^8$

Тут: $\Delta f_{\text{вих}} = \frac{1}{10^q} f_T$ – крок зміни середнього значення частоти

вихідного сигналу ГППШ; $\Delta \lambda = \frac{\Delta f_{\text{вих}}}{\gamma}$ – крок зміни значень потужності

експозиційної дози (ПЕД) при імітації джерела випромінювання;
 $G_{\text{min}} \div G_{\text{max}}$, $f_{\text{вих min}} \div f_{\text{вих max}}$ і $\lambda_{\text{min}} \div \lambda_{\text{max}}$ – діапазони зміни значень

керуючого коду, середнього значення частоти вихідного сигналу ГППШ
і значень ПЕД відповідно. Дані в табл. 1 отримані при значенні

чутливості блоку детектування $\gamma = 0,02 \frac{\text{Гц}}{\text{мкР}/\text{год}}$.

5. ВИСНОВКИ

Розроблений двійково-десятковий ГППШ може використовуватись для імітації вихідних сигналів дозиметричних детекторів і в системах криптографічного захисту інформації. В останньому випадку необхідною умовою забезпечення задовільних статистичних характеристик вихідного сигналу є введення до його складу логічної схеми ЛС.

І.Бобало Ю.Я., Дудикевич В.Б., Максимович В.М., Хорошко В.О., Бісика А.М., Смух Р.Т., Стронський Ю.Б. : Методи і засоби опрацювання вихідних сигналів дозиметричних детекторів: Монографія. – Львів:

Видавництво Національного університету "Львівська політехніка", 2009. – 200 с. 2. Максимович В.М., Гарасимчук О.І., Костів Ю.М., Мандрона М.М. Апаратна реалізація і дослідження модифікованих генераторів Фібоначчі. Комп'ютерні технології друкарства : збірник наукових праць. – Львів : Вид-во Української академії друкарства. – 2013. – № 29. – с. 167-174. 3. NIST SP 800-22. A Statistical Test Suite for Random and Pseudorandom Number Generators for Cryptographic Applications [web source]. Accessed: <http://csrc.nist.gov/publications/nistpubs//SP800-22rev1a.pdf>. 4. Kostiv Yu.M. Methodology for research of Poisson pulse sequence generators using Pearson's Chi-squared test / Yu.M. Kostiv, V.M. Maksymovych, O.I. Harasymchuk, M.M. Mandrona // Sustainable development : International journal. – Varna :Euro-Expert Ltd. – 2013. – № 9. – P. 67-72. 5. Гмурман В. Е. Теория вероятностей и математическая статистика. М., "Высш. школа", 1999. – 479 с.